

## บทที่ 1

### บทนำ

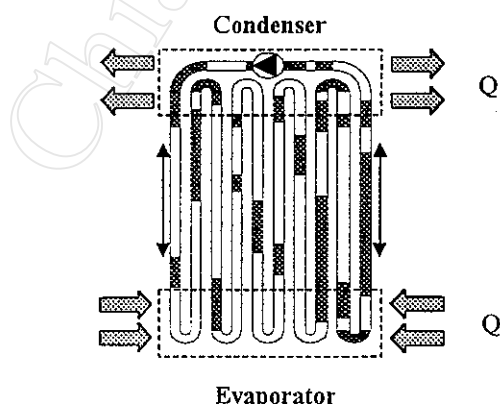
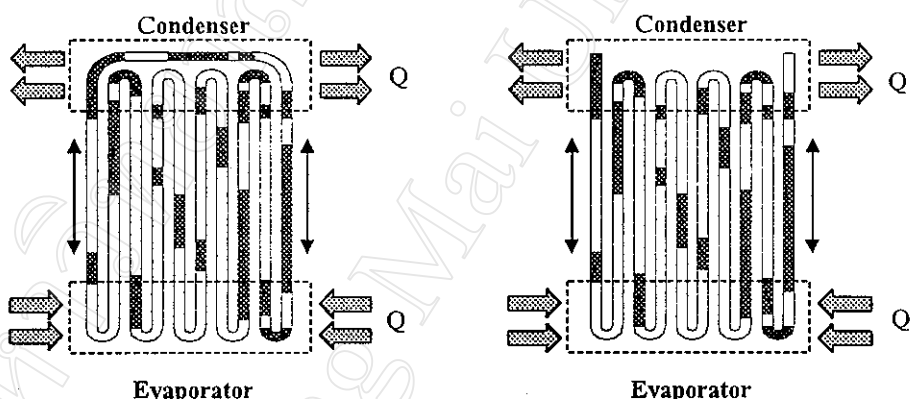
#### 1.1 ที่มาและความสำคัญของปัญหา

ผลัจงานนับเป็นปัจจัยหลักที่สำคัญอย่างยิ่งในการพัฒนาประเทศ โดยเฉพาะในกระบวนการผลิตของภาคอุตสาหกรรมและการบริการ นอกจากนี้ยังเป็นปัจจัยสำคัญในการดำเนินธุรกิจประจำวันของมนุษย์ แต่เนื่องจากเชื้อเพลิงมีราคาสูงขึ้น และแหล่งพลังงานสำรองลดลงเรื่อยๆ วงการอุตสาหกรรมก็ได้เริ่มมุ่งความสนใจและความพยายามในการอนุรักษ์พลังงานมากขึ้น วิธีหนึ่งที่สามารถช่วยให้เกิดการอนุรักษ์พลังงาน คือ การนำความร้อนทึ้งจากบวนการแลกเปลี่ยนความร้อนต่างๆ ในอุตสาหกรรมกลับมาใช้ประโยชน์อีก เช่น ความร้อนจากการเผาไหมข่องหัวเผาเมื่อไอน้ำ หรือความร้อนทึ้งจากระบบทหล่อเย็น การพัฒนาระบบดึงความร้อนทึ้งกลับคืนจากความร้อนทึ้งทางอุตสาหกรรม ได้รับการศึกษาและพัฒนาอย่างมากมาทั่วโลก ท่อความร้อน (Heat pipe) ก็เป็นอุปกรณ์หนึ่งในการพัฒนานี้

ท่อความร้อน คือ อุปกรณ์แลกเปลี่ยนความร้อนชนิดหนึ่งที่สามารถถ่ายเทความร้อนได้โดยไม่ต้องอาศัยพลังงานจากภายนอก (ประดิษฐ์ เทอดทูล, 2538) ทำงานโดยใช้หลักการส่งถ่ายความร้อนจากความร้อนแห่งแรงดึงของสารทำงานภายในท่อ ซึ่งระบุโดยการรับความร้อนจากแหล่งความร้อนแล้วถ่ายเทความร้อนโดยการควบแน่น เนื่องจากความร้อนแห่งแรงดึงของกรวยเป็นไปของสารทำงานมีค่าสูงมาก จึงสามารถถ่ายเทความร้อนจากปลายด้านหนึ่งไปสู่ปลายอีกด้านหนึ่งโดยมีอุณหภูมิแตกต่างเพียงเล็กน้อย

อย่างไรก็ตาม อุปกรณ์แลกเปลี่ยนความร้อนแบบท่อความร้อนแบบธรรมชาติที่การความร้อนสูงนี้ จะถูกจำกัดโดยแรงดันไอ (Vapor pressure) และขีดจำกัดที่เกี่ยวข้องกับค่าสมรรถนะของท่อความร้อน เช่น ขีดจำกัดภาปีลารี (Capillary limit) ซึ่งเกิดเมื่อวัสดุพูน (Wicks) ไม่สามารถนำเอาของเหลวที่เกิดจากการกลั่นตัวกลับมาซึ่งส่วนทำระเหยได้ ขีดจำกัดการพา (Entrainment limit) ซึ่งเป็นผลมาจากการไหลที่สวนทางกัน (Counter current flow) ของไอจากส่วนทำระเหยกับของเหลวที่กลับตัวจากส่วนควบแน่นของท่อความร้อน และอีกปัญหานึง คือ การประยุกต์ใช้ท่อความร้อนในอุปกรณ์ที่ต้องการการระบายความร้อนแต่มีพื้นที่จำกัดมาก จึงจำเป็นต้องใช้ท่อความร้อนที่มีขนาดเด็นผ่านศูนย์กลางที่เล็กลงมากๆ โดยจะเห็นได้ชัดในการระบายความร้อนให้กับอุปกรณ์ทางอิเล็กทรอนิกส์หรืออุปกรณ์การสื่อสารต่างๆ

จากปัจจัยที่เกิดขึ้นดังกล่าว จึงได้มีการพัฒนาสร้างห้องความร้อนชนิดใหม่ขึ้นอย่างต่อเนื่อง เช่น ห้องความร้อนแบบสั้น หรือ Oscillating Heat Pipe (OHP) เป็นห้องความร้อนชนิดใหม่ที่การส่งถ่ายความร้อนนั้นแตกต่างจากห้องความร้อนแบบธรรมดาก็คือ การเกิดแท่งของเหลวและก้อนไอในห้องซึ่งเพิ่มการเคลื่อนที่แบบสั่นของของเหลวทำงานซึ่งเกิดขึ้นด้วยตัวมันเอง(Self-excited oscillating) โดยเกิดขึ้นจากแรงขับของคลื่นแรงดันที่ไม่คงที่อย่างรุนแรง สามารถจากการเดือดแบบฟองและการควบแน่นของสารทำงานภายในห้อง มีคุณสมบัติที่สำคัญ คือ สามารถส่งถ่ายความร้อนได้อย่างรวดเร็ว โดย Oscillating Heat Pipe สามารถแบ่งออกได้เป็น 3 ชนิดหลักๆ ดังแสดงในรูปที่ 1.1 โดยรูปที่ 1.1(ก) คือ Closed-Loop Oscillating Heat Pipe (CLOHP) รูปที่ 1.1(ข) คือ Closed-End Oscillating Heat Pipe (CEOHP) รูปที่ 1.1(ค) คือ Closed-Loop Oscillating Heat Pipe แบบมีชี้ควาล์ว (CLOHP with check valve)



รูปที่ 1.1 ชนิดของห้องความร้อนแบบสั้น

โดยในรูป 1.1(ก) น้ำทำขึ้นมาจากห่อความร้อนแบบภาชนะรีเยาว์จำนวนหนึ่งห่อหรือมากกว่า น้ำที่ถูกกดและเชื่อมติดกันให้เป็นวงรอบโดยไม่มีช่องว่าง ในรูป 1.1(ข) น้ำทำขึ้นมาจากห่อความร้อนแบบภาชนะรีเยาว์ที่ทำปลายปิดทั้งสองข้างโดยไม่มีช่องว่างและไม่ใช่วงรอบจะประกอบด้วยห่อภาชนะรีเยาว์จำนวนหนึ่งห่อตามรูป และในแบบสุดท้าย คือ รูป 1.1(ค) ทำมาจากห่อภาชนะที่มีช่องว่างและเชื่อมต่อเป็นวงตามรูป ในวงของห่อความร้อนนั้นจะมีช่องว่างอยู่บังคับทิศทางของสารทำงานซึ่งทำหน้าที่พากความร้อนให้เลี้ยง อย่างรวดเร็ว แต่ในการศึกษาครั้งนี้จะมุ่งเน้นถึงคุณลักษณะการถ่ายเทความร้อนของห่อความร้อนแบบ CLOHP เท่านั้น เนื่องจากเป็นชนิดที่มีความสามารถในการถ่ายเทความร้อนได้มากที่สุด (Gi et al., 1999)

อย่างไรก็ตาม สารทำงานส่วนใหญ่ที่ใช้ในห่อความร้อน คือ สารจำพวก Chlorofluorocarbons (CFCs) ซึ่งมีผลกระทบต่อชั้นบรรยากาศและเป็นสาเหตุของปัญหาสิ่งแวดล้อม จึงเกิดแนวคิดที่จะใช้สารที่ปราศจาก CFCs มาเป็นสารทำงานแทน งานวิจัยที่ใช้สารที่ปราศจาก CFCs มาเป็นสารทำงานในห่อความร้อนนี้ มีค่อนข้างน้อยมาก ตัวอย่างเช่น งานวิจัยของ ชาญชาญและบุญฤทธิ์ (1995) ที่ใช้สาร R134a และ R123 เป็นสารทำงานภายในห่อความร้อนเพื่อศึกษาคุณสมบัติการถ่ายเทความร้อน ผลงานวิจัยของ Terdtoon et al. (1999) ได้ศึกษาถึงคุณสมบัติการถ่ายเทความร้อนของทอร์โน่ไฟฟอนแบบปิดสองสถานะ โดยใช้สารทำงานเป็นน้ำยาทำความเย็นผสมโดยสารทำงานที่เลือกใช้ คือ HP62 (สารที่มีคุณสมบัติใกล้เคียงกับ Azeotropic blend ของ HFC125 / HFC143a / HFC134a อัตราส่วนโดยมวล 44 / 52 / 4 เปลอร์เซ็นต์) และ MP39 (สารผสมของ HPFC22 / HFC152a / HCFC124 อัตราส่วนโดยมวล 53 / 13 / 34 เปลอร์เซ็นต์) พบว่าสารทั้งสองสามารถให้การถ่ายเทความร้อนที่ดี มีอุณหภูมิการทำงานที่เหมาะสม และเนื่องจากสาร HP62 และ MP39 มีค่าการทำลายโอโซน (Ozone Depletion Potential , ODP) เท่ากับ 0 และ 0.03 ตามลำดับ ซึ่งน้อยกว่าสารผสมชนิดอื่นๆ เช่น R-409A และ R-500 ซึ่งมีค่า ODP เท่ากับ 0.05 และ 0.758 ตามลำดับ จึงเชื่อมั่นได้ว่าเมื่อทำการทดลองหรือนำ CLOHP ที่ใช้สารดังกล่าวไปใช้งานจะมีผลกระทบต่อสิ่งแวดล้อมน้อยมาก ดังนั้นงานวิจัยที่กล่าวมานี้จึงเป็นแนวทางในการวิจัยเพื่อศึกษาถึงคุณลักษณะการถ่ายเทความร้อนของ CLOHP โดยใช้สารทำงาน HP62 และ MP39

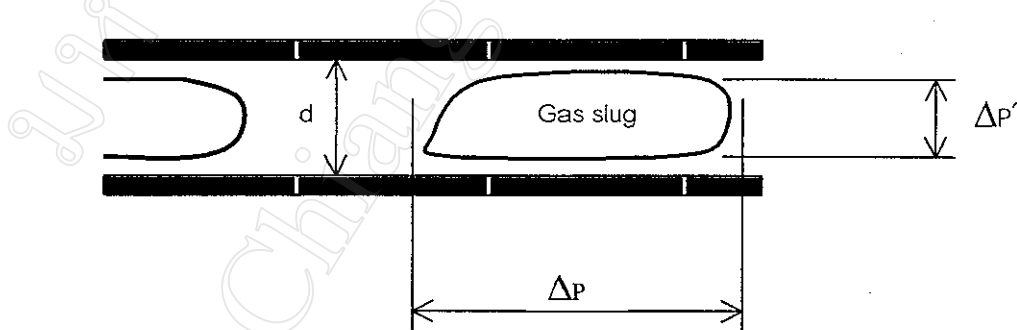
## 1.2 สรุปสาระสำคัญจากเอกสารที่เกี่ยวข้อง

งานวิจัยที่เกี่ยวข้องกับ OHP น้ำในปัจจุบันมีจำนวนไม่นัก จำกจำนวนที่มีอยู่ทั้งหมดเป็นการศึกษาวิจัยที่ไม่ได้กล่าวถึงรูปแบบจำลองทางกายภาพ (Physical modeling) เลย แต่จะกล่าวถึงเชิงพาราเมตริกการพื้นฐานเบื้องต้นเท่านั้น ซึ่งมีดังต่อไปนี้

### 1.2.1 การศึกษาถึงคุณลักษณะการถ่ายเทความร้อนของห่อความร้อนแบบสั่น

Akachi et al. (1996) กล่าวถึงหลักการทำงานเบื้องต้นของ OHP โดยจะเกิดจากการส่งถ่ายความร้อนจากแหล่งให้ความร้อนไปยังแหล่งรับความร้อน โดยความร้อนจะถูกส่งผ่านโดยการสั่น (Oscillation) ในทิศทางตามแนวแกนท่อตามข้าง

Maesawa et al. (1996) ได้ทำการทดลองเพื่อศึกษาถึงสมรรถนะทางความร้อนของห่อเทอร์โมไชฟอนแบบภาชนะโลหะ โดยทดสอบเป็นห่อเทอร์โมไชฟอนแบบภาชนะโลหะ ขนาดเส้นผ่าศูนย์กลางภายในท่อ 1 มิลลิเมตร มีจำนวนโถงทั้งหมด 20 โถงและมีความยาวทั้งหมด 24 เมตร ใช้สารทำงานเป็น R142b ผลของการทดสอบที่น่าสนใจ คือ ห่อเทอร์โมไชฟอนนี้มีการส่งถ่ายความร้อนโดยปราบภารณ์การสั่น การสั่นนี้เกิดจากคลื่นของแรงดันของสารทำงานที่แปรว่งไปมาอย่างรุนแรงที่เป็นผลมาจากการเดือดแบบพองของสารทำงาน โดยพองนี้จะเกิดขึ้นในห่อที่ส่วนทำเรheat ฟองน้ำจะโตขึ้นเรื่อยๆ และจะหายไปเมื่ออุ่นในส่วนควบแน่น โดยลักษณะที่กล่าวมานี้ จะชี้นำอุปกรณ์ที่สามารถถ่ายเทความร้อน อัตราการเติมสารทำงาน สถานะการทำงาน (Heating modes) ขนาดเส้นผ่าศูนย์กลางของห่อและจำนวนรอบของการเดือดไปมา และยังกล่าวอีกว่ารูปแบบการไหลดภายในของห่อเทอร์โมไชฟอนนี้มีการไหลดแบบ Slug ดังแสดงในรูปที่ 1.2 โดย Gas slug หรือฟองน้ำสามารถไหลดได้โดยความแตกต่างของความดัน



รูปที่ 1.2 การไหลดแบบ Slug ภายในห่อเทอร์โมไชฟอนแบบภาชนะโลหะ

ที่มา: Maesawa et al. (1996)

โดยในรูปที่ 1.2 แสดงค่าความดันตามแนวรัศมีและค่าความดันตามแนวแกนของห่อเมื่อสารทำงานในห่ออุ่นในสถานะที่  $\Delta P \geq \Delta P'$  Gas slug สามารถอยู่ในห่อได้ โดยขนาดเส้นผ่าศูนย์กลางภายในของห่อเป็นไปตามสมการที่ (1.1)

$$d \leq 2 \sqrt{\frac{\sigma}{\rho_g}} \quad (1.1)$$

**Dobson and Harms (1999)** ได้อ้างถึงบทความทางวิชาการของ Akachi et al. (1996) ในส่วนของห่อความร้อนแบบค่าปีลารี่ แต่ในที่นี้ได้ศึกษาลึกลงรูปแบบทางคณิตศาสตร์อย่างจ่ายเพื่อแสดงพฤติกรรมของสารทำงานที่อยู่ภายในห่อ เช่น แสดงคุณลักษณะการถ่ายเทความร้อนของห่อความร้อน แรงกระทำต่อสารทำงานในส่วนที่เป็นของเหลวและของแข็งเป็นต้น อีกทั้งยังกล่าวถึงค่าของเส้นผ่านศูนย์กลางที่ใหญ่ที่สุดที่ห่อความร้อนแบบค่าปีลารี่สามารถทำงานได้อย่างเหมาะสม โดยมีค่าแสดงไว้ตามสมการที่ (1.1) ซึ่งในสภาพที่มีขนาดเส้นผ่านศูนย์กลางตามสมการดังกล่าวจะทำให้สารทำงานนั้นอยู่ในสภาพการไหลแบบ Gas flow โดยเป็นสิ่งสำคัญอย่างยิ่งในการถ่ายเทความร้อนของห่อความร้อนชนิดนี้

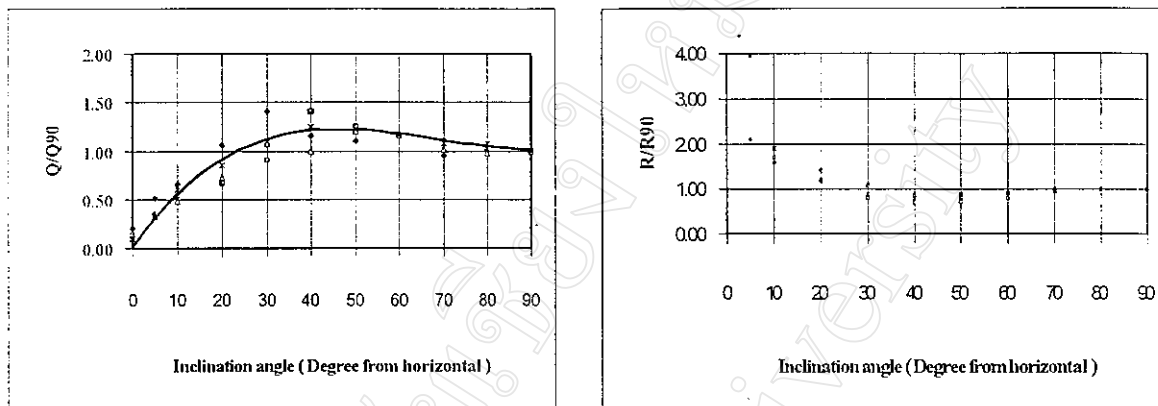
### 1.2.2 การศึกษาถึงพฤติกรรมของการส่งถ่ายความร้อนของสารทำงาน

**Maezawa et al. (1996)** ได้ศึกษาถึงคุณลักษณะของการถ่ายเทความร้อนของ OHP โดยการทดลองนั้นทำที่ตำแหน่งการให้ความร้อนต่างๆ ครึ่งองมือที่ใช้ทำการศึกษาทดลอง คือ ห่อความร้อนที่ทำจากห่อค่าปีลารี่มีความยาวทั้งหมด 48 เมตร ขนาดเส้นผ่านศูนย์กลางภายใน 2 มิลลิเมตร จำนวนโถง 40 โถง และมีการปิดหัวท้ายทั้งสองข้างของห่อ ตามรูปที่ 1.1(ข) ใช้น้ำและ R142b เป็นสารทำงาน ผลของการทดลอง คือ ในตำแหน่งการให้ความร้อนด้านบน OHP จะทำงานโดยการกระตุนการสันดิษฐ์ตัวมันเอง โดยไม่ต้องใช้วัสดุพรุน การสันสมนติว่าเป็นพฤติกรรมที่เกิดจาก Chaotic คือ ผลที่ปรากฏจะเห็นเป็น Attractor แบบประหลาด (Strange attractor) และเป็นกุ่มของแบบพลังงาน และขนาดมิติของ Attractor จะคำนวณได้จากการสังเกตอนุกรมเวลาที่เป็นตัวแปรเดียว

### 1.2.3 การศึกษาถึงคุณลักษณะการถ่ายเทความร้อนของห่อไฮดรอนิโซลฟอนที่ใช้สารทำงานที่ไม่มี CFCs

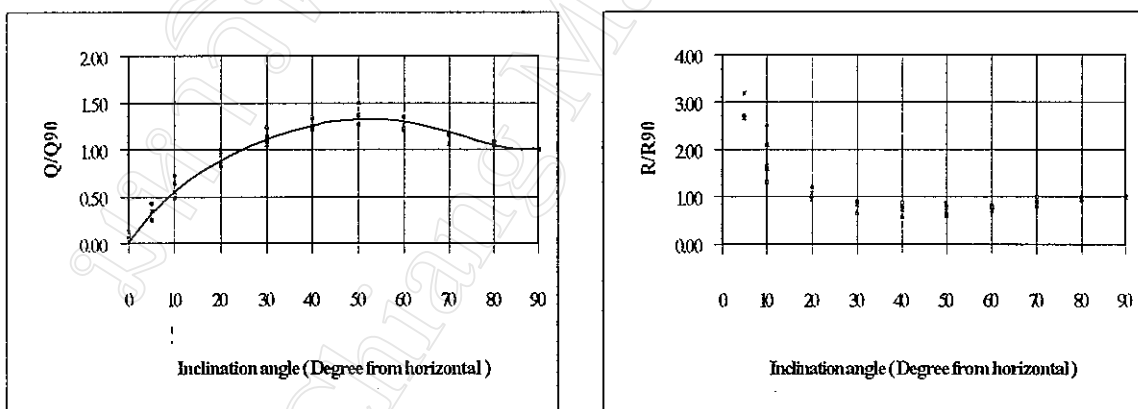
**Terdtoon et al. (1999)** ได้ศึกษาคุณสมบัติการถ่ายเทความร้อนของไฮดรอนิโซลฟอนแบบปิดสองสถานะ โดยใช้สารทำงานเป็นสารผสม คือ HP62 (หรือ R-404a ซึ่งมีคุณสมบัติคล้ายคลึงกับ Azeotropic blend ของ HFC125 / HFC143a / HFC134a อัตราส่วนโดยมวล 44 / 52 / 4 เปอร์เซ็นต์) และ MP39 (สารผสมของ HPFC22 / HFC152a / HCFC124 อัตราส่วนโดยมวล 53 / 13 / 34 เปอร์เซ็นต์) มีอัตราส่วนการเติม 50 เปอร์เซ็นต์ โดยผลกระทบจากการทดลองส่วนหนึ่ง ได้แสดงความสัมพันธ์ระหว่างค่ามูมเอียงของห่อไฮดรอนิโซลฟอนและค่าอัตราส่วนของอัตราการถ่าย

หากความร้อนกับอัตราการถ่ายเทความร้อนที่มุ่ง 90 องศา และค่าอัตราส่วนของค่าความต้านทานความร้อนกับค่าความต้านทานความร้อนที่มุ่ง 90 องศา ดังแสดงจากรูปที่ 1.3



(ก) ผลของมุ่งเอียงที่มีต่อค่า  $Q/Q_{90}$   
ของท่อความร้อนที่ใช้ MP39  
เป็นสารทำงาน

(ข) ผลของมุ่งเอียงที่มีต่อค่า  $R/R_{90}$   
ของท่อความร้อนที่ใช้ MP39  
เป็นสารทำงาน



(ค) ผลของมุ่งเอียงที่มีต่อค่า  $Q/Q_{90}$   
ของท่อความร้อนที่ใช้ HP62  
เป็นสารทำงาน

(ง) ผลของมุ่งเอียงที่มีต่อค่า  $R/R_{90}$   
ของท่อความร้อนที่ใช้ HP62  
เป็นสารทำงาน

รูปที่ 1.3 ผลของมุ่งเอียงที่มีต่อค่า  $Q/Q_{90}$  และ  $R/R_{90}$   
ของท่อความร้อนที่ใช้ MP39 และ HP62 เป็นสาร  
ทำงาน

ที่มา: Terdtoon et al. (1999)

#### 1.2.4 การศึกษาถึงผลของตัวแปรไร์นิติที่มีต่อกุณลักษณะการถ่ายเทความร้อน

หัวช. พยัคฆ์รักษ์ (2540) ได้ศึกษาถึงผลของตัวแปรไร์นิติที่มีต่อกุณลักษณะการถ่ายเทความร้อนของเทอร์โน่ไฟฟอนแบบอิสระ โดยทำการศึกษาผลของตัวแปรไร์นิติ คือ ตัวเลขของบอนด์ (Bond number) ตัวเลขของฟ្សูด (Froude number) ตัวเลขของเวเบอร์ (Weber number) และตัวเลขของคูทาเทลัดเซ (Kutateladze number) ที่มีผลต่อค่าการถ่ายเทความร้อนและค่าความต้านทานความร้อนรวม โดยใช้ห้องทดลองไฟฟอนที่ทำด้วยห้องทดลองขนาดเส้นผ่านศูนย์กลางภายใน 7.5, 11.1 และ 25.4 มิลลิเมตร ใช้ น้ำ เอทานอล และ RI23 เป็นสารทำงาน ผลที่ได้จากการทดลองพบว่าตัวเลขของคูทาเทลัดเซมีผลต่ออัตราส่วนค่าการถ่ายเทความร้อนสูงสุดที่มุมเอียงต่อค่าที่แนวตั้ง ( $Q_m/Q_{90}$ ) ตามความสัมพันธ์

$$\frac{Q_m}{Q_{90}} = 1.678 Ku^{*0.0196} \quad 2.95 \times 10^{-9} < Ku^* < 1.29 \times 10^4 \quad (1.2)$$

โดยที่  $Ku^* = Ku \times \frac{d}{L_e} \times \frac{\rho_v}{\rho_l}$

และตัวเลขของคูทาเทลัดเซมีผลต่ออัตราส่วนค่าความต้านทานความร้อนรวมต่ำสุดที่มุมเอียงต่อค่าที่แนวตั้ง ( $R_m/R_{90}$ ) ตามความสัมพันธ์

$$\frac{R_{min}}{R_{90}} = 0.647 Ku^{**0.0297} \quad 1.9 < Ku^{**} < 2.36 \times 10^4 \quad (1.3)$$

โดยที่  $Ku^{**} = Ku \times \frac{L_e}{d} \times \frac{\rho_l}{\rho_v}$

#### 1.2.5 การศึกษาถึงแบบจำลองทางความร้อนของห้องความร้อนแบบสั้น

Mohammad et al. (2001) ได้ศึกษาหาแบบจำลองทางความร้อนเพื่อใช้ในการทำนายพฤติกรรมของก้อนไอและแท่งของเหลวที่อยู่ภายในห้องความร้อนแบบสั้นปลายปิดและห้องความร้อนแบบสั้นชนิดวงรอบ และยังได้พิจารณาถึงผลของขนาดห้อง อัตราการเติมสารทำงาน และอุณหภูมิที่ผนังห้องที่มีต่อประสิทธิภาพของห้องความร้อนทั้งสองชนิดนี้อีกด้วย เข้าพบว่า ความยาวของแท่งของเหลวที่อยู่ภายในห้องความร้อนแบบสั้นนี้จะอยู่ในรูปสมการ

$$L = \frac{2\sigma}{R(\rho_l - \rho_v)g} (\cos\theta_{min} - \cos\theta_{max}) \quad \text{สำหรับ CLOHP} \quad (1.4)$$

$$L = \sqrt{8\pi a} \quad \text{สำหรับ CEOHP} \quad (1.5)$$

เมื่อเพิ่มน้ำหนักห้องและอุณหภูมิผนังห้องแล้ว อัตราการถ่ายเทความร้อนจะเพิ่มขึ้น และเมื่อเพิ่มอัตราการเติมเป็น 90 เพรอร์เซ็นต์ จะทำให้ห้องความร้อนไม่สามารถทำงานได้

จากการวิจัยที่ผ่านมาห้ามจะพบว่า ยังไม่มีนักวิจัยท่านใดที่สนใจศึกษาถึงคุณลักษณะการถ่ายเทความร้อนของห่อความร้อนชนิดสั่นแบบวงรอบที่ใช้สารทำความเย็นผสมเป็นสารทำงาน ดังนั้นในงานวิจัยนี้จึงสนใจจะศึกษาถึงผลของตัวแปรต่างๆที่มีต่อคุณลักษณะการถ่ายเทความร้อนของห่อความร้อนชนิดสั่นแบบวงรอบที่ใช้ HP62 และ MP39 ซึ่งเป็นสารผสมเป็นสารทำงาน

### 1.3 วัสดุประสงค์ของการศึกษา

1.3.1 เพื่อศึกษาถึงผลของมุมเอียงการทำงาน ขนาดห่อ ความยาวรวมของส่วนทำระเหย และความยาวรวม ที่มีผลต่อคุณลักษณะการถ่ายเทความร้อนของห่อความร้อนแบบ CLOHP โดยใช้ HP62 และ MP39 เป็นสารทำงาน

1.3.2 เพื่อศึกษาถึงผลของตัวแปร ไรมิติที่มีผลต่อคุณลักษณะการถ่ายเทความร้อนของ CLOHP

### 1.4 ประโยชน์ที่ได้รับจากการศึกษาเชิงทฤษฎี

1.4.1 ได้ทราบผลของมุมเอียงการทำงาน ขนาดห่อ ความยาวของส่วนทำระเหย และความยาวรวม ที่มีผลต่อคุณลักษณะการถ่ายเทความร้อนของห่อความร้อนแบบ CLOHP โดยใช้ HP62 และ MP39 เป็นสารทำงาน

1.4.2 ได้ทราบตัวแปร ไรมิติ ที่มีผลต่อคุณลักษณะการถ่ายเทความร้อนของ CLOHP

### 1.5 ขอบเขตของการวิจัย

1.5.1 ห่อความร้อน CLOHP ทำการทดลองที่มีขนาดของสีน้ำเงินอยู่ที่ 0.66, 1.06 และ 2.03 มิลลิเมตร

1.5.2 ความยาวรวมของห่อที่ทดสอบ คือ 5, 10 และ 15 เมตร

1.5.3 ความยาวของส่วนทำระเหยของห่อความร้อน คือ 50, 100 และ 150 มิลลิเมตร

1.5.4 มุมเอียงกำหนดให้อยู่ระหว่าง  $-90^{\circ}$  ถึง  $90^{\circ}$  องศาวัดจากแนวระดับ (ไม่น้อยกว่า 10 ค่า)

1.5.5 สารทำงานที่ใช้ คือ HP62 และ MP39

1.5.6 อุณหภูมิอ่างร้อนที่ให้ความร้อนแก่ส่วนทำระเหย คือ  $80^{\circ}\text{C}$

1.5.7 สารที่ให้ความร้อนแก่ส่วนทำระเหย คือ น้ำ

1.5.8 อุณหภูมิอ่างเย็นที่รับความร้อนแก่ส่วนควบแน่น คือ  $20^{\circ}\text{C}$

1.5.9 สารที่รับความร้อนที่ส่วนควบแน่น คือ สารละลายน้ำ Ethylene glycol 50% โดยปริมาตร

1.5.10 อัตราการเติมสารทำงานจะอยู่ในช่วง 50% - 70% โดยปริมาตรทั้งหมดของห่อ เพราะเป็นช่วงที่ห่อ CLOHP สามารถถ่ายเทความร้อนได้ดีที่สุด (Chareonsawan et al., 2000)